

# Physique Numérique I semaine 7

- Rappel Semaine 6: Schémas symplectiques
  - Euler-Cromer «pied gauche d'abord»
  - Euler-Cromer «pied droite d'abord»
  - Idée de combiner ces deux schémas → Verlet

# Physique Numérique I semaine 7

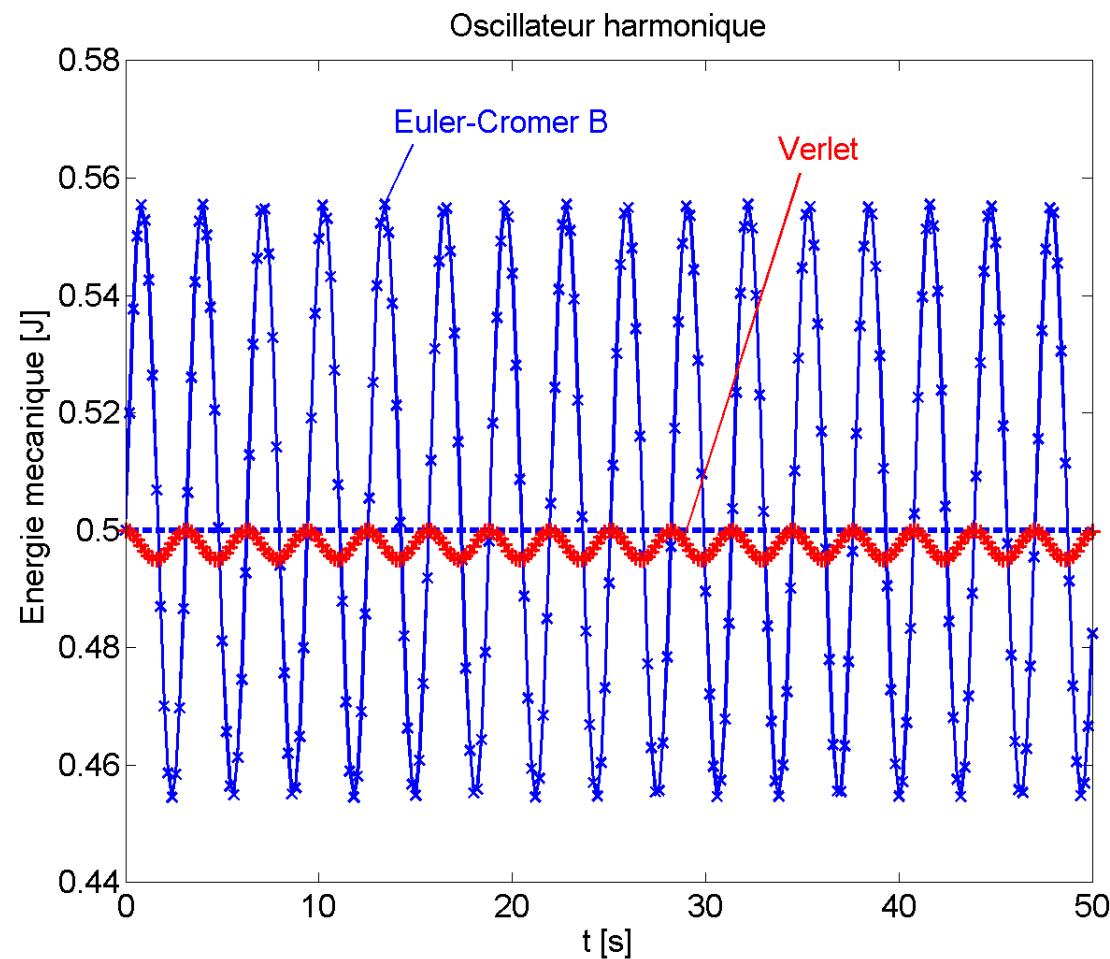
- Stabilité de Verlet
- Extension du schéma de Verlet pour des forces dépendant de la vitesse.
- Exercice 3: introduction
- Mouvements oscillatoires, physique linéaire et non-linéaire.
- Schéma semi-implicite (Boris-Buneman), appliqué au mouvement d'une particule dans un champ magnétique curviligne: « miroir magnétique », cf. Ex.2.
- Pourquoi le schéma d'Euler *semi-implicite* converge à l'ordre 2 en  $\Delta t$ , alors que les schémas explicite et implicite convergent à l'ordre 1 ?

# “Velocity Verlet”

$$\begin{aligned}x_{j+1} &= x_j + v_j \Delta t + \frac{F}{m}(x_j, t_j) \frac{\Delta t^2}{2} \\v_{j+1} &= v_j + \left( \frac{F}{m}(x_j, t_j) + \frac{F}{m}(x_{j+1}, t_{j+1}) \right) \frac{\Delta t}{2}\end{aligned}\tag{2.98}$$

- Généralisé ici à une force dépendant explicitement du temps
- L'algorithme est stable (cf plus loin)
- Il est d'ordre 2 en  $\Delta t$ : erreur  $\sim (\Delta t)^2$
- Une seule évaluation de  $F$  par pas temporel
- Peut être utilisé pour de longues simulations sans qu'il y ait accumulation systématique d'erreurs sur la conservation de l'énergie
- S'applique en principe bien aux systèmes conservatifs

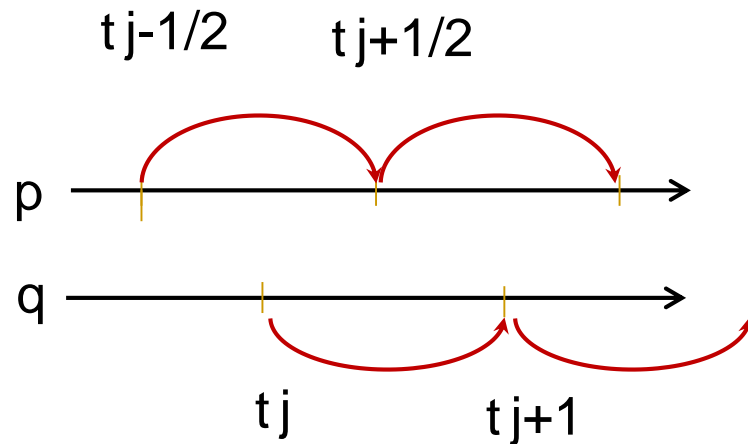
# Velocity Verlet – oscillateur harmonique



- Même  $\Delta t=0.2$

# Formulations alternatives de Verlet 1

## ■ Verlet «leapfrog» (saute-mouton)



$$\begin{aligned} p_{j+1/2} &= p_{j-1/2} + \Delta t F(q_j) \\ q_{j+1} &= q_j + (\Delta t / m) p_{j+1/2} \end{aligned} \quad (2.99)$$

Schéma à niveaux décalés («staggered»)

Nécessite un premier «demi-pas» pour être initialisé

Désavantage: on ne connaît pas  $p$  et  $q$  aux mêmes instants

# Formulations alternatives de Verlet 2

## ■ Stormer (1907) – Verlet (1967)

$$\frac{d}{dt} \begin{pmatrix} p \\ q \end{pmatrix} = \begin{pmatrix} F(q) \\ p/m \end{pmatrix} \Leftrightarrow \frac{d^2q}{dt^2} = F(q)/m \quad (2.100)$$

$$\frac{d^2q}{dt^2}(t_j) = \frac{1}{\Delta t^2} (q_{j+1} - 2q_j + q_{j-1}) + O(\Delta t^2)$$

$$q_{j+1} = 2q_j - q_{j-1} + (\Delta t^2 / m) F(q_j) \quad (2.102)$$

Schéma à 3 niveaux

Nécessite un premier pas «en arrière» ( $q_{-1}$ ) pour être initialisé

Cet algorithme date de 1907 (Stormer)

Équivalence avec «velocity-Verlet»: Notes de Cours pp.41-42

# Stabilité du schéma de Verlet

- On montre (p.40) que le schéma de Verlet est stable pour le problème de l'oscillateur harmonique, à la condition que:

$$\omega \Delta t \leq 2$$

où  $\omega$  est la fréquence propre (physique!) du système:

$$\omega = \sqrt{\frac{k}{m}}$$

Il en est de même pour Euler-Cromer.

# Extension du schéma Verlet à des forces dépendant de la vitesse

Soit  $a(x, v, t) = F(x, v, t) / m$

Cas  $a = a(x, v, t) = a_1(x, t) + a_2(v)$

$$x_{j+1} = x_j + v_j \Delta t + \frac{1}{2} a(x_j, v_j, t_j) (\Delta t)^2 \quad (1)$$

$$v_{j+1/2} = v_j + \frac{1}{2} a(x_j, v_j, t_j) \Delta t \quad (2)$$

$$v_{j+1} = v_j + \frac{1}{2} (a_1(x_j, t_j) + a_1(x_{j+1}, t_{j+1})) \Delta t + a_2(v_{j+1/2}) \Delta t$$

En récrivant le dernier terme comme  $a_2(v_{j+1/2}) \frac{\Delta t}{2} + a_2(v_{j+1/2}) \frac{\Delta t}{2}$

Et en l'insérant dans le deuxième terme, on obtient:

# Extension du schéma Verlet à des forces dépendant de la vitesse (suite)

$$v_{j+1} = v_j + \left( a_1(x_j, t_j) + a_2(v_{j+1/2}) + a_1(x_{j+1}, t_{j+1}) + a_2(v_{j+1/2}) \right) \frac{\Delta t}{2}$$

$$v_{j+1} = v_j + \left( \boxed{a(x_j, v_{j+1/2}, t_j)} + \boxed{a(x_{j+1}, v_{j+1/2}, t_{j+1})} \right) \frac{\Delta t}{2} \quad (3)$$

Cette dernière expression permet ainsi de faire appel à une fonction  $a$ , acceleration.

Le schéma ainsi modifié, Eqs.(1)(2)(3), implique en tout 3 appels à la fonction « acceleration »,  $a(\dots)$ , *avec des arguments différents*.

Pour l'exercice 3:  $x \rightarrow \theta$ ,  $v \rightarrow \dot{\theta}$

# Applications aux systèmes oscillatoires

- Modes propres, fréquences propres
  - Petits mouvements. [Ex.3](#)
- Amortissement [Fig.2.13](#)
- Excitation résonante [Fig.2.14](#)
  - Expériences.

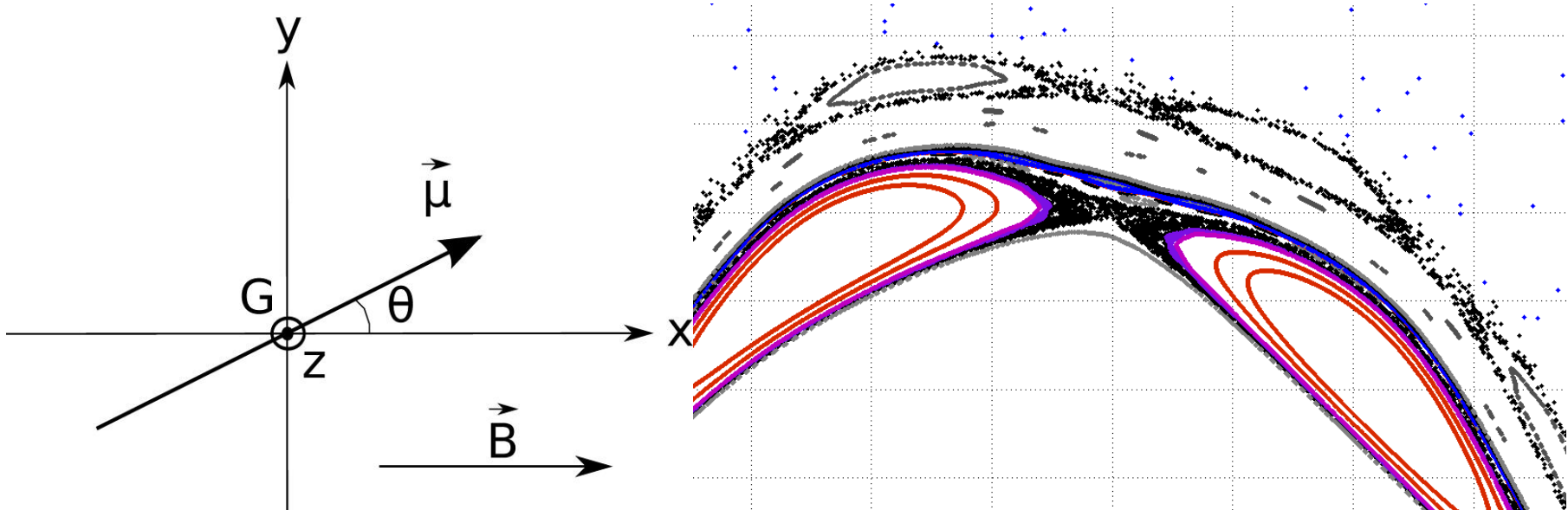
Physique linéaire

- Excitation paramétrique (déstabilisation non linéaire)

- Ex.3
- Stabilisation non linéaire
  - Expérience. [Ex.3](#)
- Chaos: pendule articulé, système Hamiltonien
  - Expérience. Simulations. [Figs.2.18-2.21](#)
- Chaos: Sensibilité aux conditions initiales.
- Expérience. Simulations. [Fig.2.17](#) [Ex.3](#)
- En route pour le chaos: multiplication des fréquences
  - Simulations
- Chaos: pendule excité
  - Attracteurs étranges. Simulations. [Figs.2.15, 2.16](#), [Ex.3](#)

Physique non linéaire

# Ex. 3 (2017): pendule magnétique

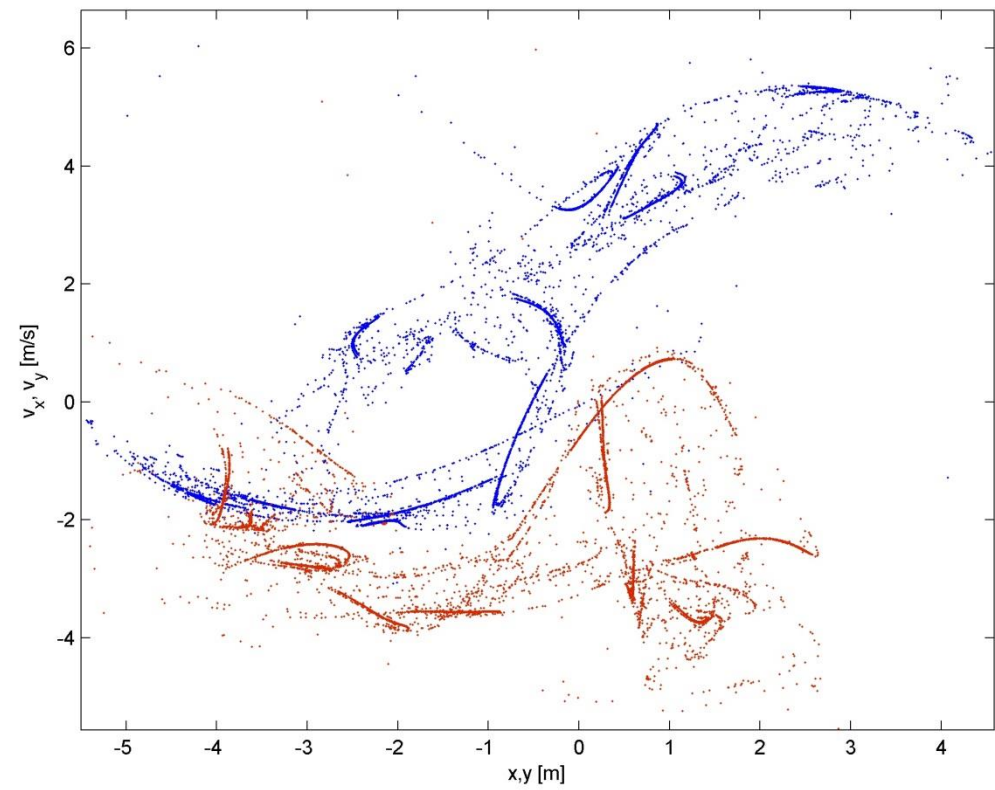
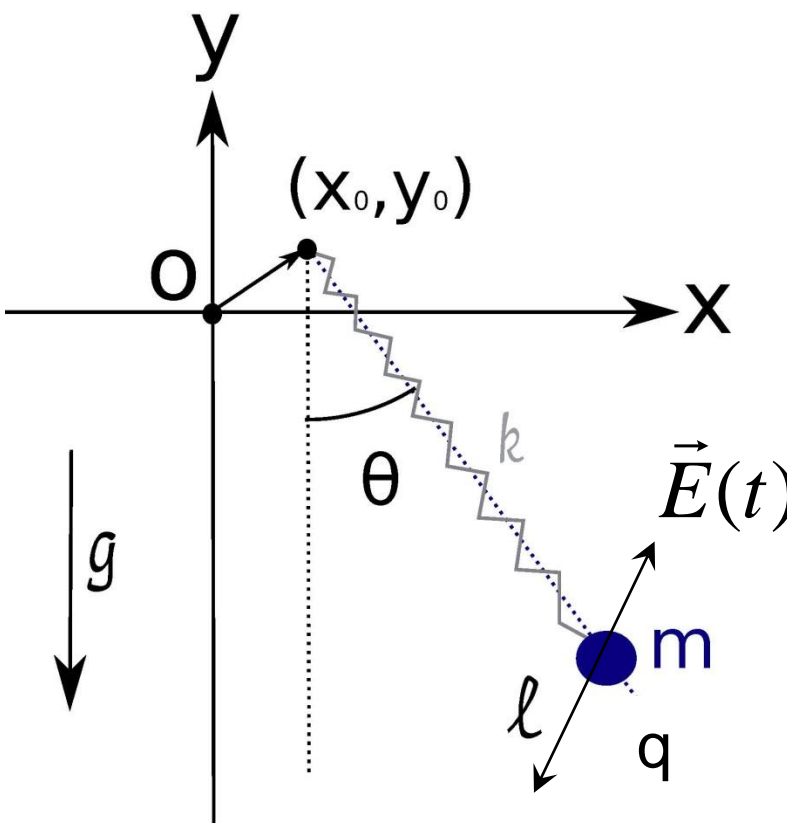


$$\vec{M}_G = \vec{\mu} \times \vec{B} - \nu \dot{\theta} \vec{e}_z$$

*Ceci est un pendule*

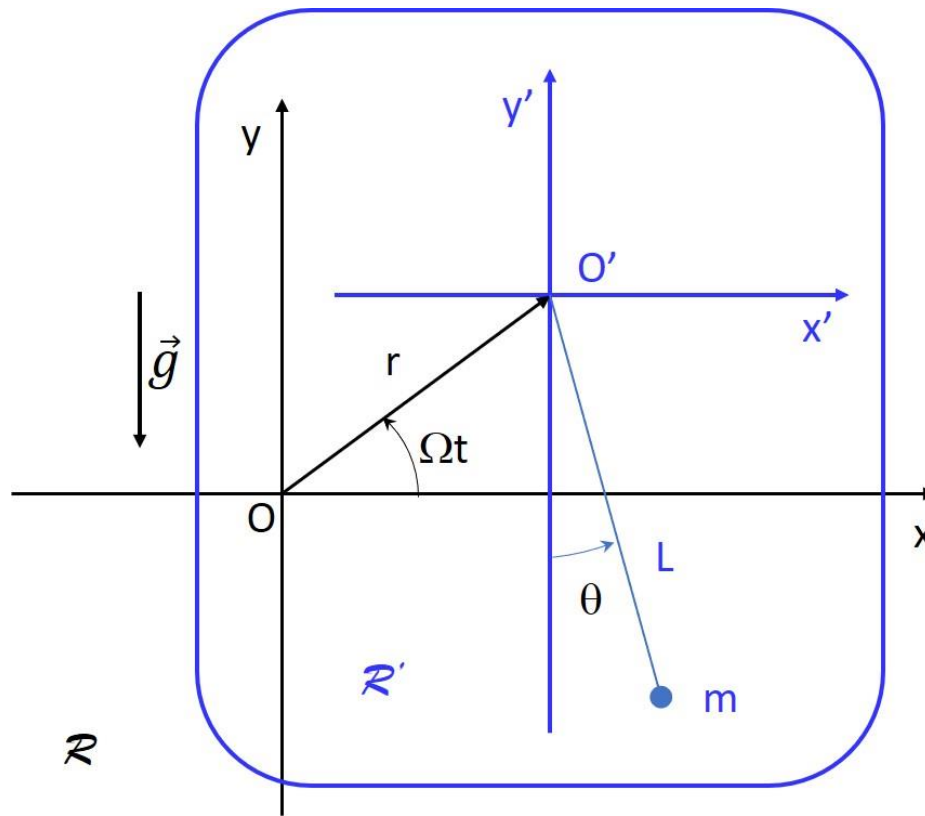
# Ex.3 (2018): pendule, excitation verticale

# Ex. 3 (2019): pendule ressort + champ électrique oscillant



*Ceci est un pendule*

# Ex. 3 (2021): pendule simple avec point d'attache en mvmt circulaire



On établira les Eqs du mvmt dans le référentiel  $\mathcal{R}'$  lié au point d'attache  $O'$ , en ***translation*** par rapport au référentiel  $\mathcal{R}$  du sol.  
 $O'$  est en MCU dans  $\mathcal{R}$ .

Schéma Velocity-Verlet,  
 avec extension pour  
 forces dépendant de la  
 vitesse

$$x \rightarrow \theta \quad v \rightarrow \dot{\theta}$$

# Expériences (semaines prochaines)

- Pendule double, petits mouvements, modes propres.
- Pendules sur élastique. Excitation résonante.
- Pendule magnétique. Chaos.
- Pendule avec excitation circulaire. Chaos.
- Pendule double, grands mouvement. Chaos.
- Pendule inversé. Stabilisation non-linéaire.

# Boris – Buneman (2.7.2)

- Cas d'une particule dans un champ magnétique

Semi-implicite

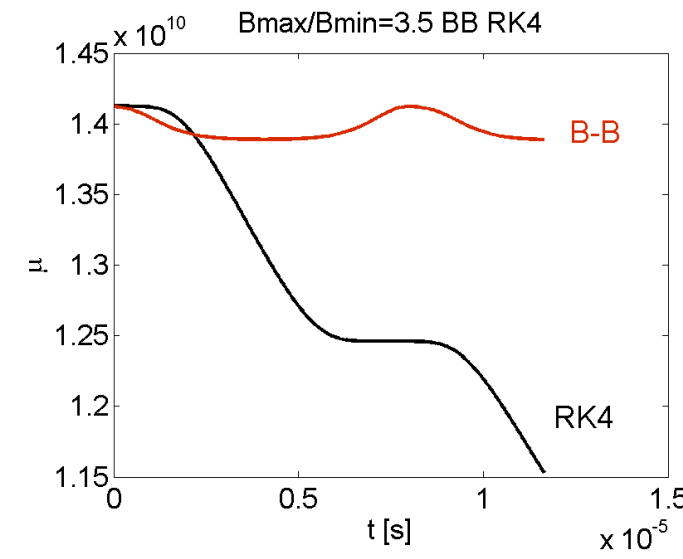
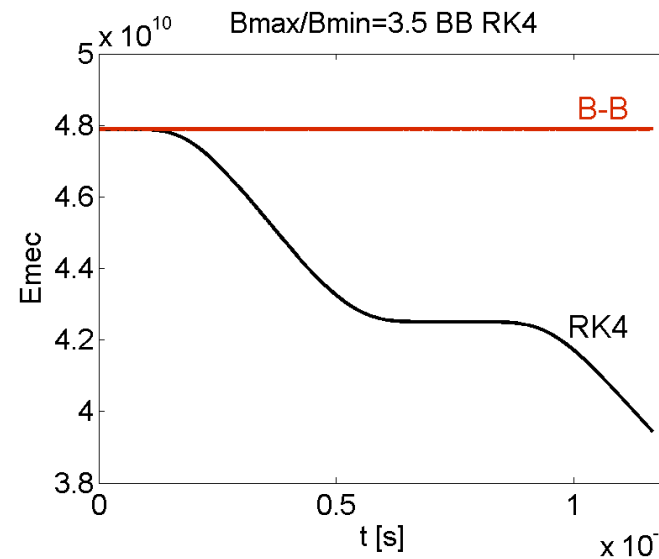
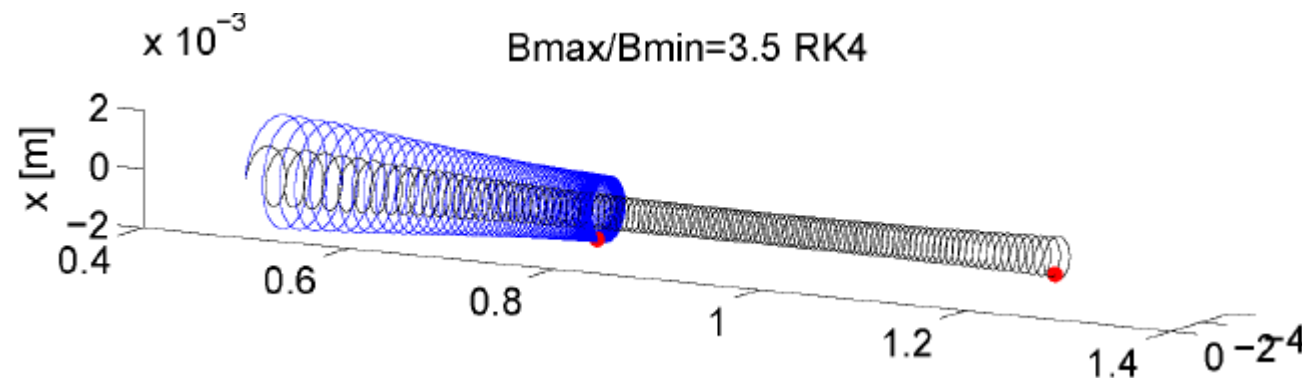
$$\frac{\vec{v}_+ - \vec{v}_-}{\Delta t} = \frac{q}{m} \left( \frac{\vec{v}_+ + \vec{v}_-}{2} \right) \times \vec{B} \quad (2.147)$$

Posons:  $\omega_c = qB/m$      $\vec{e}_{\parallel} = \vec{B}/B$

$$\vec{v}_+ = \vec{v}_- + \frac{\omega_c \Delta t}{1 + (\omega_c \Delta t / 2)^2} \left( \vec{v}_- \times \vec{e}_{\parallel} + \frac{\omega_c \Delta t}{2} (\vec{v}_- \times \vec{e}_{\parallel}) \times \vec{e}_{\parallel} \right) \quad (2.149)$$

- Conserve Emec exactement, quel que soit  $\Delta t$
- Ordre 2 en  $\Delta t$

# Particule dans champ magnétique: Boris - Buneman



- B-B Conserve Emec exactement, (quel que soit  $\Delta t$  !)